

## О ДРЕЙФЕ БЛОХОВСКИХ ЛИНИЙ В ОСЦИЛЛИРУЮЩЕМ ПОЛЕ

С. В. Иорданский, В. И. Марченко

Построена теория дрейфа блоховских линий в ферромагнетиках во внешнем осциллирующем во времени и однородном в пространстве магнитном поле. Выявлена зависимость скорости дрейфа от частоты, амплитуды и направления поля.

Дедух, Горнаков и Никитенко [1, 2] обнаружили явление направленного дрейфа блоховских линий в кубическом ферромагнетике во внешнем осциллирующем во времени и однородном в пространстве магнитном поле. Аналогичный эффект был предсказан ранее Шлёманом [3] для блоховских границ. В теории [3] существенно, что уравнения Ландау — Лифшица имеют точное решение для блоховских границ. Как известно, для блоховской линии точное решение не найдено. Тем не менее, как будет показано в настоящей работе, для объяснения и количественного описания явления достаточно лишь весьма общего представления о структуре блоховской линии.

1. Уравнения Ландау — Лифшица в сферических координатах имеют вид

$$-\dot{\theta} \sin \theta - \kappa \dot{\varphi} \sin^2 \theta = \delta E / \delta \varphi, \quad \dot{\varphi} \sin \theta - \kappa \dot{\theta} = \delta E / \delta \theta, \quad (1)$$

где  $\kappa \ll 1$  — константа затухания, энергия  $E$  равна сумме энергии ферромагнетика во внешнем поле  $-\int \mathbf{M} \mathbf{H} dV$  и собственной энергии  $E$ , равной

$$\int dV \left\{ \frac{\beta}{2} \sin^2 \theta - K \left[ \frac{\sin^4 \theta}{4} + \frac{\cos^4 \theta}{3} - \frac{2^{1/2}}{3} \cos \theta \sin^3 \theta \cos^3 \varphi + \right. \right. \\ \left. \left. + 2^{1/2} \cos \theta \sin^3 \theta \cos \varphi \sin^2 \varphi \right] + \frac{1}{2} [\sin^2 \theta (\nabla \varphi)^2 + (\nabla \theta)^2] + \right. \\ \left. + \int dV' |\mathbf{r} - \mathbf{r}'|^{-1} \operatorname{div} \mathbf{M}(\mathbf{r}) \operatorname{div} \mathbf{M}(\mathbf{r}') \right\}; \quad (2)$$

здесь  $\beta$  — эффективная одноосная анизотропия [4], обусловленная магнитострикцией. Состояние  $\theta=0$  соответствует направлению намагниченности вдоль легкой оси [111] (ось  $x$ ); последний член есть энергия размагничивания. Ось  $y$  декартовой системы координат  $(x, y, z)$  направлена вдоль [110]. В [1, 2] доменные границы лежат в плоскости  $(z, x)$ , блоховские линии ориентированы вдоль оси  $z$ . Пусть равновесная структура линии задается функциями

$$\{\theta_0(\mathbf{r}), \varphi_0(\mathbf{r})\}; \quad \mathbf{M}_0 = (M_0^x, M_0^y, M_0^z) = (\cos \theta_0, \sin \theta_0 \sin \varphi_0, \sin \theta_0 \cos \varphi_0).$$

При указанной в [1, 2] ориентации линий функции  $\{\theta_0, \varphi_0\}$  зависят только от  $(x, y)$  (краевыми эффектами пренебрегаем). Легко видеть, что функции вида

$$\text{I: } \{\theta_0, \varphi_0\}; \quad \text{II: } \{\pi + \theta_0(x, -y), -\varphi_0(x, -y)\};$$

$$\text{III: } \{\pi + \theta_0(-x, -y), \varphi_0(-x, -y)\}; \quad \text{IV: } \{\theta_0(-x, y), -\varphi_0(-x, y)\};$$

$$\text{V: } \{\pi + \theta_0(-x, y), -\varphi_0(-x, y)\}; \quad \text{VI: } \{\theta_0(-x, -y), \varphi_0(-x, -y)\};$$

$$\text{VII: } \{\theta_0(x, -y), -\varphi_0(x, -y)\}; \quad \text{VIII: } \{\pi + \theta_0(x, y), \varphi_0(x, y)\}$$

отвечают одинаковые энергии (2) и, тем самым, представляют собой различные решения уравнений равновесия  $\delta E / \delta \varphi = 0$ ,  $\delta E / \delta \theta = 0$ . Поля намаг-

ниченности, соответствующие перечисленным решениям, схематически представлены на рис. 1. Черные и белые участки на блоховских границах соответствуют положительному и отрицательному значениям  $z$ -компоненты намагниченности.

2. Пусть теперь  $\theta = \theta_0 + \theta_1$ ,  $\varphi = \varphi_0 + \varphi_1$ , где  $\theta_1$ ,  $\varphi_1$  — произвольные малые функции  $(x, y)$ ; тогда в линейном по  $\theta_1$ ,  $\varphi_1$  приближении

$$\delta E / \delta \varphi = L_{\varphi\varphi} \varphi_1 + L_{\varphi\theta} \theta_1; \quad \delta E / \delta \theta = L_{\theta\theta} \theta_1 + L_{\theta\varphi} \varphi_1,$$

где матричный интегро-дифференциальный оператор  $\hat{L}$ , определяемый компонентами второй вариационной производной от энергии  $E$  по  $\theta, \varphi$ , является, очевидно, самосопряженным. Поскольку решение  $\{\theta_0, \varphi_0\}$  соответствует минимуму энергии  $E$ , спектр оператора  $\hat{L}$  не имеет отрицательных собственных значений. Предположим, что положение линии на границе не фиксировано какими-либо дефектами или внешними условиями, тогда наряду с решением  $\{\theta_0, \varphi_0\}$  имеем непрерывный ряд вырожденных решений  $\{\theta_0(x+X, y), \varphi_0(x+X, y)\}$ , где  $X$  — произвольная постоянная. Отсюда следует, очевидно, что оператор  $L$  имеет собственный вектор

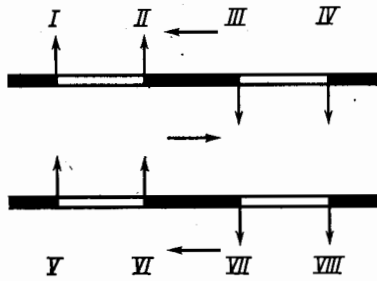


Рис. 1

$$(\partial \theta_0 / \partial x, \partial \varphi_0 / \partial x) \quad (3)$$

с нулевым собственным значением. Согласно экспериментальным данным [5] положение доменной границы оказывается фиксированным либо ростовыми дефектами, либо эффектами, связанными с размагничиванием, так что имеется собственная частота колебаний границы приблизительно 1,8 МГц [6]. Для простоты описания такой ситуации добавим к энергии член  $A^2 \int M_z^2 y^2 dv$ , «притягивающий» доменную границу к плоскости  $y=0$ . Тогда непрерывный спектр оператора  $\hat{L}$  начинается со щели  $\propto A$ . Не исключен, конечно, и дискретный спектр локальных мод; для дальнейшего важно, однако, лишь то, что нет более причин для малых собственных значений.

Прежде чем приступить к исследованию динамической задачи, получим полезное для дальнейшего тождество. Разложим уравнения равновесия для функций вида  $\{\theta_0(x+X+\zeta, y), \varphi_0(x+X+\zeta, y)\}$  по малой константе  $\zeta$  с точностью до квадратичных членов. Учитывая, что

$$\theta_0(x+X+\zeta, y) \approx \theta_0(x+X, y) + \zeta \frac{\partial \theta_0}{\partial x} + \frac{1}{2} \zeta^2 \frac{\partial^2 \theta_0}{\partial x^2},$$

$$\varphi_0(x+X+\zeta, y) \approx \varphi_0(x+X, y) + \zeta \frac{\partial \varphi_0}{\partial x} + \frac{1}{2} \zeta^2 \frac{\partial^2 \varphi_0}{\partial x^2}$$

получим

$$\frac{\delta E}{\delta \theta} \approx \frac{\zeta^2}{2} \left( L_{\theta\theta} \frac{\partial^2 \theta_0}{\partial x^2} + L_{\theta\varphi} \frac{\partial^2 \varphi_0}{\partial x^2} \right) + \left\{ \frac{\delta E}{\delta \theta} \right\}_2 = 0,$$

$$\frac{\delta E}{\delta \varphi} \approx \frac{\zeta^2}{2} \left( L_{\varphi\varphi} \frac{\partial^2 \varphi_0}{\partial x^2} + L_{\varphi\theta} \frac{\partial^2 \theta_0}{\partial x^2} \right) + \left\{ \frac{\delta E}{\delta \varphi} \right\}_2 = 0; \quad (4)$$

здесь выделены члены, линейные по квадратичным поправкам к функциям  $\{\theta_0, \varphi_0\}$ , и члены вида  $\{ \}_2$ , квадратичные по линейной поправке к функциям  $\{\theta_0, \varphi_0\}$ . Умножим первое уравнение в (4) на  $\partial \theta_0 / \partial x$ , второе — на  $\partial \varphi_0 / \partial x$ , сложим полученные уравнения и проинтегрируем по объему. В силу самосопряженности оператора  $L$ , а также того факта, что вектор

(3) является его собственным вектором с нулевым собственным значением, получим искомое тождество:

$$\iint dx dy \left( \frac{\partial \theta_0}{\partial x} \left\{ \frac{\delta E}{\delta \theta} \right\}_2 + \frac{\partial \varphi_0}{\partial x} \left\{ \frac{\delta E}{\delta \varphi} \right\}_2 \right) = 0. \quad (5)$$

3. Исследование движения блоховской линии во внешнем поле  $\mathbf{H} = \mathbf{h} \sin \omega t$  будем проводить, разлагая решение уравнений (1) по малой амплитуде поля и по малой (по сравнению с собственной частотой колебаний границы) частоте  $\omega$ .

Выясним сначала низкочастотный спектр блоховской линии. Ищем решение линейных по амплитуде движения уравнений в виде ряда по частоте и константе затухания:

$$\begin{aligned} \theta(x, y, t) &\approx \theta_0(x, y) + c(t) (\partial \theta_0 / \partial x) + \theta_1 + \theta_2 + \dots, \\ \varphi(x, y, t) &\approx \varphi_0(x, y) + c(t) (\partial \varphi_0 / \partial x) + \varphi_1 + \varphi_2 + \dots \end{aligned} \quad (6)$$

В первом приближении получим

$$\dot{c} \begin{pmatrix} + \frac{\partial \varphi_0}{\partial x} \sin \theta_0 \\ - \frac{\partial \theta_0}{\partial x} \sin \theta_0 \end{pmatrix} = L \begin{pmatrix} \theta_1 \\ \varphi_1 \end{pmatrix}. \quad (7)$$

Отсюда, вводя не зависящие от времени функции  $\eta^\theta, \eta^\varphi$ , такие, что  $\theta_1 = \dot{c} \eta^\theta, \varphi_1 = \dot{c} \eta^\varphi$ , найдем

$$\begin{pmatrix} \eta^\theta \\ \eta^\varphi \end{pmatrix} = L^{-1} \begin{pmatrix} \frac{\partial \varphi_0}{\partial x} \sin \theta_0 \\ - \frac{\partial \theta_0}{\partial x} \sin \theta_0 \end{pmatrix}. \quad (8)$$

Во втором приближении имеем

$$\begin{pmatrix} \ddot{c} \eta^\theta \sin \theta_0 - \kappa \dot{c} \frac{\partial \theta_0}{\partial x} \\ - \ddot{c} \eta^\varphi \sin \theta_0 - \kappa \dot{c} \frac{\partial \varphi_0}{\partial x} \sin^2 \theta_0 \end{pmatrix} = L \begin{pmatrix} \theta_2 \\ \varphi_2 \end{pmatrix}; \quad (9)$$

отсюда, повторяя выкладки, проведенные при переходе от уравнений (4) к тождеству (5), получим обычное уравнение движения свободной блоховской линии

$$m\ddot{c} + \alpha\dot{c} = 0. \quad (10)$$

Таким образом, низкочастотный спектр сводится к двум модам  $\Omega_1 = 0$  и  $\Omega_2 = i\tau^{-1}$ , где  $\tau = \alpha/m$  и

$$\begin{aligned} m &= \int \sin \theta_0 \left( \eta^\theta \frac{\partial \theta_0}{\partial x} - \eta^\varphi \frac{\partial \varphi_0}{\partial x} \right) dx dy; \\ \alpha &= \kappa \int \left[ \left( \frac{\partial \varphi_0}{\partial x} \right)^2 \sin^2 \theta_0 + \left( \frac{\partial \theta_0}{\partial x} \right)^2 \right] dx dy. \end{aligned} \quad (11)$$

Остальные собственные частоты системы начинаются со щели  $\infty A$ .

Внешнее переменное поле будет возбуждать, вообще говоря, все моды. Если, однако, частота поля мала по сравнению со щелью, то амплитуда движения намагниченности обусловлена, в основном, двумя модами:  $\Omega_1$  и  $\Omega_2$ . Вклад остальных мод получим в адиабатическом приближении. Вы-

делим в уравнениях (1) члены с внешним полем

$$-\dot{\theta} \sin \theta - \kappa \dot{\varphi} \sin^2 \theta + \sin \theta \cos \varphi H_y - \sin \theta \sin \varphi H_z = \delta E / \delta \varphi, \quad (12)$$

$$\dot{\varphi} \sin \theta - \kappa \dot{\theta} - \sin \theta H_x + \cos \theta \sin \varphi H_y + \cos \theta \cos \varphi H_z = \delta E / \delta \theta.$$

В линейном приближении имеем

$$\begin{pmatrix} \varphi_\omega \sin \theta_0 - \kappa \dot{\theta}_\omega - \sin \theta_0 H_x + \cos \theta_0 \sin \varphi_0 H_y + \cos \theta_0 \cos \varphi_0 H_z \\ -\dot{\theta}_\omega \sin \theta_0 - \kappa \dot{\varphi}_\omega \sin^2 \theta_0 + \sin \theta_0 \cos \varphi_0 H_y - \sin \theta_0 \sin \varphi_0 H_z \end{pmatrix} = L \begin{pmatrix} \theta_\omega \\ \varphi_\omega \end{pmatrix}. \quad (13)$$

Выделяя в членах с магнитным полем часть, ортогональную к вектору (3), вместо (7) получим

$$\begin{pmatrix} \dot{c} \frac{\partial \varphi_0}{\partial x} \sin \theta_0 - \sin \theta_0 H_x + \cos \theta_0 \sin \varphi_0 H_y + \cos \theta_0 \cos \varphi_0 H_z - I^{-1} \mu \mathbf{H} \frac{\partial \varphi_0}{\partial x} \\ -\dot{c} \frac{\partial \theta_0}{\partial x} \sin \theta_0 + \sin \theta_0 \cos \varphi_0 H_y - \sin \theta_0 \sin \varphi_0 H_z - I^{-1} \mu \mathbf{H} \frac{\partial \theta_0}{\partial x} \end{pmatrix} = L \begin{pmatrix} \theta_1 \\ \varphi_1 \end{pmatrix}. \quad (14)$$

Здесь вектор  $\mu$  есть скачок магнитного момента доменной границы при переходе через блоховскую линию:

$$\mu_x = \iint \sin \theta_0 \frac{\partial \theta_0}{\partial x} dx dy = \iint \frac{\partial M_0^x}{\partial x} dx dy = \int (M_0^x|_{x=+\infty} - M_0^x|_{x=-\infty}) dy, \quad (15)$$

$$\begin{aligned} \mu_z &= \iint \left( -\sin \theta_0 \sin \varphi_0 \frac{\partial \varphi_0}{\partial x} - \cos \theta_0 \cos \varphi_0 \frac{\partial \theta_0}{\partial x} \right) dx dy = \\ &= \int (M_0^z|_{x=+\infty} - M_0^z|_{x=-\infty}) dy. \end{aligned}$$

Компонента  $\mu_y$  равна нулю, так как в доменных границах далеко от линии  $M_0^y=0$

$$I = \iint [(\partial \theta_0 / \partial x)^2 + (\partial \varphi_0 / \partial x)^2] dx dy.$$

Решение  $(\theta_1, \varphi_1)$  уравнения (14) запишем в следующем виде:

$$\begin{pmatrix} \theta_1 \\ \varphi_1 \end{pmatrix} = \dot{c} \begin{pmatrix} \eta^\theta \\ \eta^\varphi \end{pmatrix} + \mathbf{H} \begin{pmatrix} \eta^\theta \\ \eta^\varphi \end{pmatrix}, \quad (16)$$

где функции  $\eta, \eta$  не зависят от времени и частоты. Последний член в (16) отвечает, очевидно, вкладу высокочастотных мод. Далее вместо уравнений (9) имеем

$$\begin{aligned} \ddot{c} \sin \theta_0 \begin{pmatrix} \eta^\varphi \\ -\eta^\theta \end{pmatrix} + \sin \theta_0 \dot{H} \begin{pmatrix} \eta^\varphi \\ -\eta^\theta \end{pmatrix} - \kappa \dot{c} \begin{pmatrix} \frac{\partial \theta_0}{\partial x} \\ \frac{\partial \varphi_0}{\partial x} \sin^2 \theta_0 \end{pmatrix} + \\ + I^{-1} \mu \mathbf{H} \begin{pmatrix} \frac{\partial \theta_0}{\partial x} \\ \frac{\partial \varphi_0}{\partial x} \end{pmatrix} = L \begin{pmatrix} \theta_2 \\ \varphi_2 \end{pmatrix}. \end{aligned} \quad (17)$$

Отсюда (ср. (9) → (10)) получаем уравнение движения блоховской линии во внешнем поле:

$$m\ddot{c} + \alpha \dot{c} + \mu \mathbf{H} + \nu \dot{\mathbf{H}} = 0; \quad (18)$$

здесь введен вектор

$$\mathbf{v} = \iint \sin \theta_0 \left( \eta^\varphi \frac{\partial \theta_0}{\partial x} - \eta^\theta \frac{\partial \varphi_0}{\partial x} \right) dx dy.$$

Уравнение (18) является условием разрешимости уравнений (17). Исходя из (17) (в согласии с (18)), исключая член  $\infty \mu \mathbf{H}$  получим

$$\begin{aligned} \ddot{c} \begin{pmatrix} \sin \theta_0 \eta^\theta - I^{-1} m \frac{\partial \theta_0}{\partial x} \\ - \sin \theta_0 \eta^\varphi - I^{-1} m \frac{\partial \varphi_0}{\partial x} \end{pmatrix} + \dot{c} \begin{pmatrix} \kappa \frac{\partial \theta_0}{\partial x} - I^{-1} \alpha \frac{\partial \theta_0}{\partial x} \\ \kappa \sin^2 \theta_0 \frac{\partial \varphi_0}{\partial x} - I^{-1} \alpha \frac{\partial \varphi_0}{\partial x} \end{pmatrix} + \\ + \dot{\mathbf{H}} \begin{pmatrix} \sin \theta_0 \eta^\theta - I^{-1} \mathbf{v} \frac{\partial \varphi_0}{\partial x} \\ - \sin \theta_0 \eta^\varphi - I^{-1} \mathbf{v} \frac{\partial \theta_0}{\partial x} \end{pmatrix} = L \begin{pmatrix} \theta_2 \\ \varphi_2 \end{pmatrix}, \end{aligned} \quad (19)$$

откуда следует, что поправка  $(\theta_2, \varphi_2)$  имеет вид (ср. 16)

$$\begin{pmatrix} \theta_2 \\ \varphi_2 \end{pmatrix} = \ddot{c} \begin{pmatrix} \eta_1^\theta \\ \eta_1^\varphi \end{pmatrix} + \kappa \dot{c} \begin{pmatrix} f_1^\theta \\ f_1^\varphi \end{pmatrix} + \dot{\mathbf{H}} \begin{pmatrix} \eta_1^\theta \\ \eta_1^\varphi \end{pmatrix}, \quad (20)$$

где функции  $\eta_1, f_1, \eta_1$  определяются лишь характеристиками равновесной задачи. Из уравнения (18) при  $\mathbf{H} = \mathbf{h} \sin \omega t$  найдем

$$c = \left( \omega^2 + \frac{1}{\tau^2} \right)^{-1} m^{-1} \left( \mu - \frac{\mathbf{v}}{\tau} \right) \mathbf{h} \left( \sin \omega t - \frac{\cos \omega t}{\omega \tau} \right) + \frac{\mathbf{v} \mathbf{h}}{\omega m} \cos \omega t. \quad (21)$$

4. В квадратичном по амплитуде поля приближении ищем решение в виде

$$\begin{aligned} \theta &= \theta_0(x-Vt, y) + \theta_\omega(t, x-Vt, y) + \theta'(t, x-Vt, y), \\ \varphi &= \varphi_0(x-Vt, y) + \varphi_\omega(t, x-Vt, y) + \varphi'(t, x-Vt, y), \end{aligned} \quad (22)$$

где  $V$  — ожидаемая скорость дрейфа ( $\infty \hbar^2$ ),  $\theta_\omega, \varphi_\omega$  — найденные выше линейные по амплитуде поля поправки,  $\theta', \varphi'$  — квадратичные по полю поправки. Усредним решение (22) по промежутку времени, большому по сравнению с периодом осцилляций поля, но малому по сравнению с характерным временем дрейфа блоховской линии на расстояние порядка ее «толщины». Например, для  $\langle \theta \rangle$  получим

$$\langle \theta \rangle = \theta_0(x-Vt, y) + \langle \theta'(t, x-Vt, y) \rangle.$$

Очевидно, что при таком усреднении вся временная зависимость решения будет сводиться только к сносу со скоростью  $V$ , поэтому с точностью до членов  $\infty \hbar^4$  имеем

$$\langle \dot{\theta} \rangle = -V \partial \theta_0 / \partial x. \quad (23)$$

Проведем в уравнении (1) указанное усреднение по времени. Оставляя члены  $\infty \hbar^2$ , получим с учетом (23)

$$\begin{aligned} V \sin \theta_0 \begin{pmatrix} -\partial \varphi_0 / \partial x \\ \partial \theta_0 / \partial x \end{pmatrix} + \kappa V \begin{pmatrix} \partial \theta_0 / \partial x \\ \sin^2 \theta_0 (\partial \varphi_0 / \partial x) \end{pmatrix} - \left\langle \left\langle \begin{pmatrix} (\partial \mathbf{E} / \partial \theta) - \varphi \sin \theta \\ (\partial \mathbf{E} / \partial \varphi) + \theta \sin \theta \end{pmatrix} \right\rangle_2 \right\rangle = \\ = L \begin{pmatrix} \langle \theta' \rangle \\ \langle \varphi' \rangle \end{pmatrix}. \end{aligned} \quad (24)$$

Здесь в скобках усреднения с индексом 2 ( $\langle \rangle_2$ ) условно выделены члены, квадратичные по поправке  $(\theta_\omega, \varphi_\omega)$  и члены с магнитным полем. Повто-

для вывода, аналогичный (4) → (5), получаем выражение для скорости

$$V = \alpha^{-1} F, \quad (25)$$

где эффективная сила  $F$  состоит из следующих трех частей:

$$\begin{aligned} F_1 &= \iint \left( \left\langle \frac{\delta E}{\delta \varphi} \right\rangle_2 \frac{\partial \varphi_0}{\partial x} + \left\langle \frac{\delta E}{\delta \theta} \right\rangle_2 \frac{\partial \theta_0}{\partial x} \right) dx dy, \\ F_2 &= - \iint \langle \dot{\varphi}_0 \theta_0 \rangle \cos \theta_0 \frac{\partial \theta_0}{\partial x} dx dy, \\ F_3 &= \iint dx dy \left\{ \langle H_x \theta_0 \rangle \cos \theta_0 \frac{\partial \theta_0}{\partial x} + \left\langle H_y, \sin \theta_0 \sin \varphi_0 \frac{\partial \varphi_0}{\partial x} \varphi_0 - \right. \right. \\ &\quad \left. \left. - \cos \theta_0 \cos \varphi_0 \frac{\partial \varphi_0}{\partial x} \theta_0 + \sin \theta_0 \sin \varphi_0 \frac{\partial \theta_0}{\partial x} \theta_0 - \cos \theta_0 \cos \varphi_0 \frac{\partial \theta_0}{\partial x} \varphi_0 \right\rangle + \right. \\ &\quad \left. + \left\langle H_x, \sin \theta_0 \cos \varphi_0 \left( \frac{\partial \theta_0}{\partial x} \theta_0 + \frac{\partial \varphi_0}{\partial x} \varphi_0 \right) + \cos \theta_0 \sin \varphi_0 \left( \frac{\partial \theta_0}{\partial x} \varphi_0 + \frac{\partial \varphi_0}{\partial x} \theta_0 \right) \right\rangle \right\}. \quad (26) \end{aligned}$$

Если оставить в  $F_1$  (26) в выражениях для  $(\theta_0, \varphi_0)$  главные по амплитуде члены  $(c \partial \varphi_0 / \partial x, c \partial \theta_0 / \partial x)$ , то в силу тождества (5) получим  $F_1 = 0$ , поэтому конечный вклад в  $F_1$  обусловлен учетом следующих поправок (16) и (20). Подстановка решений  $(\theta_0, \varphi_0)$  в (26) приводит к чрезвычайно громоздким выражениям. Нетрудно убедиться, однако, что результат можно представить в следующем простом виде:

$$F = (\omega^2 + 1/\tau^2)^{-1} (\mu h) (N h), \quad (27)$$

где вектор  $N$  определяется только характеристиками равновесной задачи и нет причин для приведения к нулю какой-либо из его компонент  $N_x, N_y, N_z$ . Выражение (27) полностью определяет зависимость эффективной силы от частоты, константы затухания, направления и величины поля. По порядку величины (в предположении  $\beta \sim K \sim 4\pi$ ) в обычных единицах скорость равна

$$V \sim \frac{\gamma M \delta (\gamma h)^2}{\kappa \omega^2 + \tau^{-2}},$$

где  $\gamma$  — гиромангнитное отношение,  $\delta$  — толщина доменной границы.

Выясним закон преобразования выражения для силы  $F$  при переходе от решения  $\{\theta_0, \varphi_0\}$  (I на рис. 1) к остальным перечисленным выше решениям (II–VIII). В первом члене подынтегрального выражения для  $F_3$  имеем

$$\begin{aligned} \langle H_x \theta_0 \rangle \cos \theta_0 \frac{\partial \theta_0}{\partial x} &\approx \langle H_x c \rangle \cos \theta_0 \left( \frac{\partial \theta_0}{\partial x} \right)^2 \approx \frac{1}{2} \left( \omega^2 + \frac{1}{\tau^2} \right)^{-1} \frac{(\mu h)}{m} \\ &\quad \cdot h_x \cos \theta_0 \left( \frac{\partial \theta_0}{\partial x} \right)^2. \quad (28) \end{aligned}$$

Здесь величины  $\mu$  и  $\cos \theta_0$  могут отличаться знаками для разных блоховских линий. Так, например, при переходе от решения I  $\{\theta_0, \varphi_0\}$  к решению III  $\{\pi + \theta_0(-x, -y), \varphi_0(-x, -y)\}$  выражение (28) меняет знак. Также просто анализируются все члены в  $F_3$ .

В подынтегральном выражении для  $F_2$  (26) необходимо учесть уже следующие поправки в  $(\theta_0, \varphi_0)$  (16):

$$\left\langle \dot{c} \frac{\partial \varphi_0}{\partial x} + \dot{c} \eta^e, c \frac{\partial \theta_0}{\partial x} + \dot{c} \eta^e \right\rangle \cos \theta_0 \frac{\partial \theta_0}{\partial x} =$$

$$= \langle \dot{c} \rangle^2 \frac{\partial \varphi_0}{\partial x} \frac{\partial \theta_0}{\partial x} \cos \theta_0 \eta^{\circ} + \langle c \ddot{c} \rangle \left( \frac{\partial \theta_0}{\partial x} \right)^2 \cos \theta_0 \eta^{\circ}. \quad (29)$$

Функции  $\eta^{\circ}$ ,  $\eta^{\circ}$  (8) удовлетворяют уравнениям вида

$$\begin{aligned} -\frac{\partial \theta_0}{\partial x} \sin \theta_0 &= \frac{\delta^2 E}{\delta \varphi^2} \eta^{\circ} + \frac{\delta^2 E}{\delta \varphi \delta \theta} \eta^{\circ}, \\ \frac{\partial \varphi_0}{\partial x} \sin \theta_0 &= \frac{\delta^2 E}{\delta \theta^2} \eta^{\circ} + \frac{\delta^2 E}{\delta \theta \delta \varphi} \eta^{\circ}, \end{aligned} \quad (30)$$

откуда с очевидностью следует, что при преобразованиях, не меняющих энергию,  $\eta^{\circ}$  преобразуется как функция  $\sin \theta_0 (\partial \theta_0 / \partial x)$ , а  $\eta^{\circ}$  — как  $\sin \theta_0 (\partial \varphi_0 / \partial x)$ . Таким образом, выражение (29) преобразуется как функция  $\sin 2\theta_0 (\partial \theta_0 / \partial x)$ .

Первый член в подынтегральном выражении в  $F_1$  (26) имеет следующий вид:

$$\left\{ \frac{1}{2} \frac{\delta^3 E}{\delta \varphi^3} \langle \varphi_{\omega}^2 \rangle + \frac{\delta^3 E}{\delta \varphi^2 \delta \theta} \langle \varphi_{\omega} \theta_{\omega} \rangle + \frac{1}{2} \frac{\delta^3 E}{\delta \varphi \delta \theta^2} \langle \theta_{\omega}^2 \rangle \right\} \frac{\partial \varphi_0}{\partial x}.$$

Рассмотрим здесь, например, первый член. Учитывая в  $\varphi_{\omega}$  разложение до  $\dot{c}$ , получаем

$$\begin{aligned} &\frac{\delta^3 E}{\delta \varphi^3} \left\langle \left( c \frac{\partial \varphi_0}{\partial x} + \dot{c} \eta^{\circ} + \mathbf{H} \eta^{\circ} + \dot{c} \eta_{1^{\circ}} \right)^2 \right\rangle \frac{\partial \varphi_0}{\partial x} \approx \\ &\approx \frac{\delta^3 E}{\delta \varphi^3} \frac{\partial \varphi_0}{\partial x} \left[ \langle c^2 \rangle \left( \frac{\partial \varphi_0}{\partial x} \right)^2 + \langle \dot{c}^2 \rangle (\eta^{\circ})^2 + 2 \langle c \mathbf{H} \rangle \eta^{\circ} + \langle c \dot{c} \rangle \frac{\partial \varphi_0}{\partial x} \eta_{1^{\circ}} \right]. \end{aligned}$$

Член  $\propto \langle c^2 \rangle$  выпадает из окончательного ответа в силу тождества (5). Следующий член  $\propto \langle \dot{c}^2 \rangle$  преобразуется как  $(\delta^3 E / \delta \varphi^3) \partial \varphi_0 / \partial x$ , т. е. меняет знак при тех преобразованиях, которые включают замену  $x \rightarrow -x$ . Не останавливаясь на таком же, по существу не сложном анализе остальных членов, сформулируем окончательный результат следующим образом. Компоненты  $N_x$ ,  $N_z$  вектора  $\mathbf{N}$  (27) одинаковы для решений I, IV, VI, VII и меняют знак при переходе к остальным решениям. Компонента  $N_y$  одинакова для решений I, II, V, VI и меняет знак при переходе к III, IV, VII, VIII, т. е. она пропорциональна магнитному моменту линии. Скачок магнитного момента границы  $\mu$  меняет знак при переходе (I, III, V, VII)  $\rightarrow$  (II, IV, VI, VIII) (см. рис. 1).

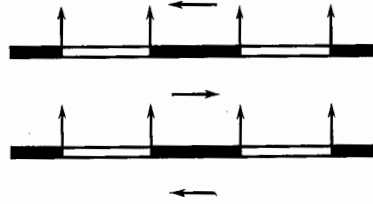


Рис. 2

В [1, 2] наблюдается движение всех линий в одной границе в одну сторону, а в соседней границе — в противоположную, причем наиболее эффективна  $x$ -компонента внешнего поля. Для объяснения этого правила, как мы видим, необходимо определенное согласование, а именно: магнитные моменты всех блоховских линий должны быть направлены в одну сторону (рис. 2). Действительно, пусть внешнее поле имеет только  $x$ -компоненту; тогда направление силы (27) определяется множителем  $\mu_x N_x h_x^2$ , который, как нетрудно убедиться, преобразуется необходимым образом. При появлении  $y$ -компоненты поля возникает добавка  $\propto \mu_x h_x N_y h_y$ , которая имеет для такой структуры (рис. 2) разный знак для соседних линий и зависит от знака  $h_y$ . Таким образом, при небольшом отклонении поля от оси  $x$  линии будут дрейфовать, сохраняя прежнее направление, но с разной величиной скорости. Компонента поля  $H_z$  работает, в принципе, так же, как и  $H_x$ , однако в [1, 2] она не может быть существенной из-за эффектов размагничивания (образец имеет

форму пластинки, лежащей в плоскости  $(x, y)$ ). Описанная картина качественно соответствует экспериментальным данным [1, 2].

Дрейф линий приводит к увеличению [8] плотности на одном краю данной блоховской границы и разрежению на другом. Большое расстояние между линиями соответствует метастабильному состоянию, поэтому там зарождаются [2] новые линии. Причем ориентация их магнитных моментов должна соответствовать направлению дрейфа от края пластинки, в противном случае линии выталкиваются из пластинки.

Авторы благодарят В. К. Власко-Власова, В. С. Горнакова, Л. М. Дедуха, В. И. Никитенко, В. Г. Сыногача за полезное обсуждение работы.

#### Литература

1. Dedukh L. M., Gornakov V. S., Nikitenko V. I. Phys. Stat. Sol. (a), 1983, 75, 117.
2. Горнаков В. С., Дедух Л. М., Никитенко В. И. ЖЭТФ, 1984, 86, 1505.
3. Schlömann E. IEEE Transactions on magnetics, 1975, 11, 1051.
4. Лифшиц Е. М. ЖЭТФ, 1945, 15, 97.
5. Дедух Л. М., Никитенко В. И., Полянский А. А. ЖЭТФ, 1980, 79, 605.
6. Горнаков В. С., Дедух Л. М., Никитенко В. И., Сыногач В. Г. ЖЭТФ, 1986, 90, 2019.
7. Никитенко В. И., Горнаков В. С., Дедух Л. М., Кабанов Ю. П. Письма в ЖЭТФ, 1980, 32, 402.
8. Горнаков В. С., Дедух Л. М., Кабанов Ю. П., Никитенко В. И. ЖЭТФ, 1982, 82, 2007.

Институт физики твердого тела  
Академии наук СССР

Поступила в редакцию  
7.V.1986

#### DRIFT OF BLOCH LINES IN AN OSCILLATING FIELD

*S. V. Iordansky, V. I. Marchenko*

A theory of drift of Bloch lines in ferromagnets located in an external time-oscillating and spatially homogeneous magnetic field is developed. The dependence of the drift velocity on the field frequency, amplitude and direction is elucidated.